

岐阜大学 正会員 森本博昭  
岐阜大学 正会員 小柳治

## 1. まえがき

コンクリート構造物に対する温度ひびわれ予測は種々の要因により誤差とばらつきを生じる。このばらつきの範囲を把握しておくことは温度ひびわれ予測あるいは温度ひびわれに対する安全性を検討する上で重要である。本研究は実際に施工された26例の構造物に対して著者らが提案して手法による温度ひびわれ予測を行ない、得られた予測のばらつきの範囲を明確にするもので、これにより過去の確定論的温度ひびわれ予測を一步進めより信頼性の高い温度ひびわれ危険度の評価が可能となる。

## 2. 解析手法

本研究で用いる温度ひびわれ予測法は熱伝導、温度応力解析およびひびわれ危険度の算定の各過程より成るが、熱伝導および温度応力解析は共に有限要素法を適用した。温度ひびわれの危険度を算定する際のひびわれ条件式は強度によるものとひずみ能力によるもの2つを用いた。材令7Kにおける引張主応力および引張主ひずみを $\sigma_p(t)$ ,  $E_p(t)$ , また引張強度と引張ひずみ能力を $\sigma_t(t)$ ,  $E_t(t)$ とすれば、ひびわれ条件式は次式で表わされる。

$$\sigma_p(t) \text{ (又は } E_p(t)) \geq \sigma_t(t) \text{ (又は } E_t(t)) \quad \text{--- (1)}$$

$$\text{あるいは } \sigma_p(t)/\sigma_t(t) \text{ (又は } E_p(t)/E_t(t)) \geq 1 \quad \text{--- (2)}$$

(2)式の $\sigma_p(t)/\sigma_t(t)$  および $E_p(t)/E_t(t)$  は温度ひびわれ危険度を評価する際の指標となるもので本研究ではこれらの値を用いてひびわれ予測を行なう。また(1),(2)式 中の引張ひずみ能力は Houghton らの研究<sup>(1)</sup>を参考にし、弾性係数、曲げ強度およびクリープ係数などから算出した。以上の熱伝導解析、温度応力解析および温度ひびわれ予測などについての詳細は文献(2)を参照されたい。

## 3. 解析対象構造物

本研究での解析例は26件であるが、その中から内部拘束が卓越するものと外部拘束が卓越するものの各々から4例ずつ、計8例について、それらの施工に関する資料を表-1に示す。また図-1～8に各構造物の形状、寸法および要素分割を示す。

なお以下では表-1を示す番号ごとに構造物を呼ぶこととする。

## 4. 解析結果

図-9～16に各構造物における応力あるいはひずみが最も大きくなる部分、すなはち

表-1 解析対象構造物

番号	拘束 内部 or 外部	構造物 の種類	単位 メートル 重量 $\text{kg}/\text{m}^3$	打設 温度 $^{\circ}\text{C}$	施工 時期	ひび割 れの 有無	引張 強度 $\text{kg}/\text{cm}^2$	圧縮 強度 $\text{kg}/\text{cm}^2$	弹性係数 $\times 10^9$ $\text{kg}/\text{cm}^2$	弹性限 界 $\times 10^9$ $\text{kg}/\text{cm}^2$
S1	内	橋脚柱	276	11	冬	無	20.7	242	255	6
S2	外	壁状供試体	350	15	・	有	26.5	382	30.0	8
S3	"	"	"	"	"	無	"	"	"	2
S4	"	T-チート	280	11	・	有	20.7	242	252	4
S5	外	配水池壁	366	27	初夏	有	28.0	448	41.0	9
S6	"	"	284	25	・	無	19.0	20.7	20.8	9
S7	"	水槽壁	403	21	冬	有	33.2	390	30.3	6
S8	"	配水池壁	294	25	夏	無	21.7	288	24.8	5

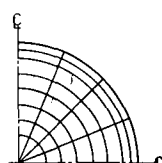


図-1 構造物S1

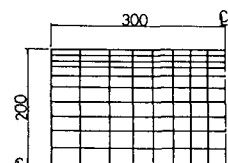


図-2 構造物S2

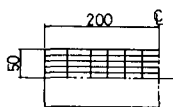


図-3 構造物S3

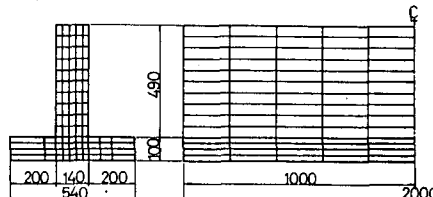


図-5 構造物S5

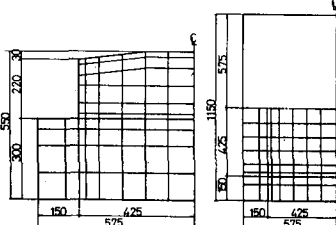


図-4 構造物S4

内部拘束が卓越する S1  
～S4 では表面、一方外  
部拘束が卓越する S5 ～  
S8 では中心 C あるいは  
強度とひずみ能力による  
温度ひびわれ危険指數を

示す。図 9 ～ 12 から内部拘束が卓越する場合は材令 6 日までの初期材令期間および型枠脱型時 (S2, S3) にひびわれの危険性が高くなり、その後以降は材令の進行に伴ない危険性が低下してゆく。一方、図 13 ～ 16 から外

部拘束が卓越する場合は材令の進行に伴ないひびわれの危険性が増大し、その状態が保持される傾向にある。强度とひずみ能力による指數を比較すると、材令初期 C 強度と引張応力が増大する S7 を除き両者はほぼ同じ値を示す。

図 17 ～ 18 からひびわれ発生例におけるひびわれ危険指數は強度の場合 0.6 ～ 1.9、範囲があり、一方ひずみ能力の場合 0.5

～ 2.4 である。すなわち、それらの場合の下限値は  $\sigma/\sigma_T = 0.6$  および  $\epsilon/\epsilon_T = 0.5$  となる。

他方、ひびわれの発生が認められなか、た例でのひびわれ危険指數は強度の場合が 0.3 ～ 1.3、ひずみ能力の場合が 0.1 ～ 1.4 となる。すなわち上限値はそれらで  $\sigma/\sigma_T = 1.3$ 、 $\epsilon/\epsilon_T = 1.4$  である。

## 5. あとがき

本研究をさらに進めればひびわれ発生確率などにより温度ひびわれの危険性を評価することが可能となる。

(参考文献) (1) Houghton, D. L., ACI Journal, Vol. 73, No. 12, 1976 (2) 森本, 小柳, 土木学会論文報告集 338 号, 1983

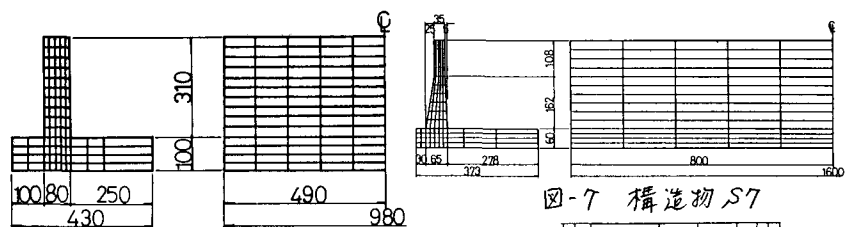


図-7 構造物 S7

図-6 構造物 S6

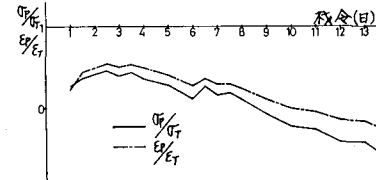


図-9 ひびわれ危険指數 S1

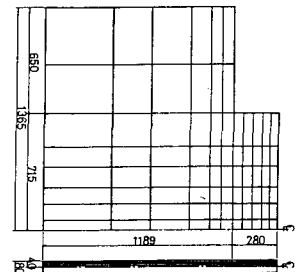


図-8 構造物 S8

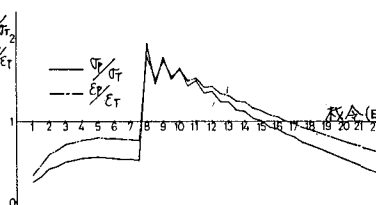


図-10 ひびわれ危険指數 S2

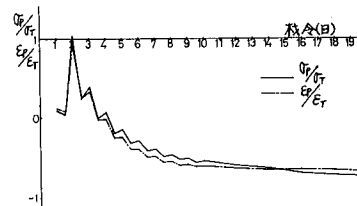


図-11 ひびわれ危険指數 S3

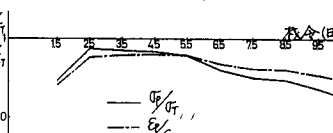


図-12 ひびわれ危険指數 S4

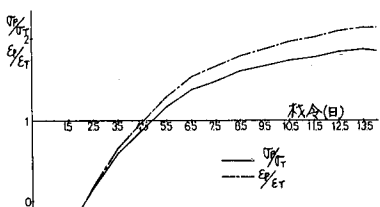


図-13 ひびわれ危険指數 S5

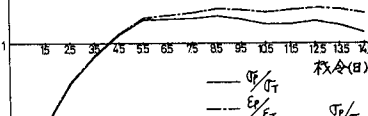


図-14 ひびわれ危険指數 S6

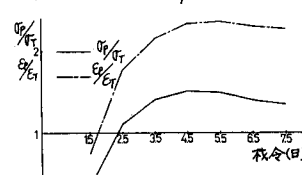


図-15 ひびわれ危険指數 S7

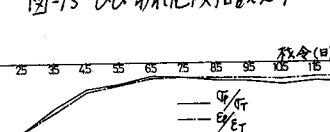


図-16 ひびわれ危険指數 S8

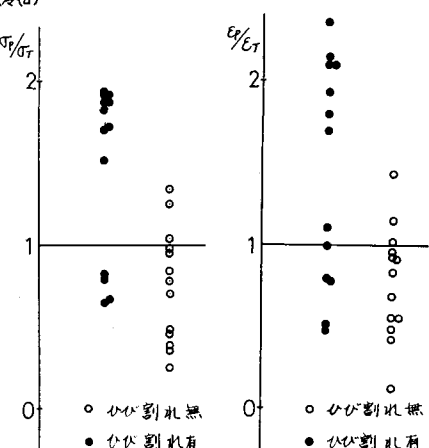


図-17 指数の範囲



図-18 指数の範囲